

2. *Guz A. N., Zozulya V. V., Menshikov A. V.* General spatial dynamic problem for an elliptic crack under the action of a normal shear wave, with consideration for the contact interaction of the crack faces // *Intern. Appl. Mechanics.* – 2004. – **40**, No 2. – P. 156–159.
3. *Menshikov A. V., Menshikova M. V., Wendland W. L.* On the use of the Galerkin method to solve the fracture mechanics problem for a linear crack under normal loading // *Ibid.* – 2005. – **41**, No 11. – P. 1324–1329.
4. *Меньшиков В. А., Меньшиков А. В.* Гранично-контактные интегральные уравнения динамической задачи теории упругости о трещине на поверхности раздела полупространств // *Доп. НАН України.* – 2006. – № 6. – С. 51–56.
5. *Меньшиков В. А.* Сингулярные ядра интегральных уравнений в задаче о трещине на границе раздела полупространств при гармоническом нагружении // *Там же.* – № 11. – С. 58–62.

*Институт механики им. С. П. Тимошенко  
НАН Украины, Киев*

*Поступило в редакцию 16.03.2007*

УДК 532.546

© 2007

**В. Л. Поляков**

## **Кризис сопротивления в несвязных средах при внутренней суффозии, обусловленной действием линейных источников (дрен-увлажнителей)**

*(Представлено членом-корреспондентом НАН Украины А. Я. Олейником)*

*Based on an axisymmetric model of hydrodynamic deformations, the theoretical study of the abrupt initial fall in resistance to a groundwater flow from the solid component of a porous medium (resistance crisis) due to the internal piping caused by a linear source is performed. The effect of model parameters on the source intensity is analyzed for two typical natural media (mineral and organic suffusive soils).*

Регулирование водного режима особенно эффективно в несвязных пористых средах благодаря их обычно высокой проницаемости. На практике оно осуществляется путем чередования циклов осушения и увлажнения. При этом на дренах, как основном управляющем средстве, напор периодически резко меняется. Естественные несвязные среды (грунты) обычно содержат относительно большое количество мелких неструктурных (суффозионных) частиц [1]. В реальных условиях подъем (снижение) напора на дрене способен значительно интенсифицировать фильтрационный процесс по крайней мере вблизи нее. Вследствие ускорения течения поровой воды гидродинамическая сила в этой части фильтрационного потока ощутимо возрастает и при превышении ею некоторого порогового значения суффозионные частицы здесь мобилизуются [3]. При работе дрена в качестве увлажнителя указанные частицы отгоняются от нее и сосредотачиваются в узкой зоне. Важно, что эта аккумулялирующая зона локализована около водоисточника, где имеют место как раз основные потери напора. Ее внешняя граница остается неподвижной, а положение последней определяется расходом источника [4]. Вместе с тем внутренняя граница, отделяющая аккумулялирующую зону от

“чистой” (не содержит неструктурных частиц), приближается к внешней. В течение короткого времени в порах периферийной части области деформаций может накопиться столько взвеси, что сопротивление движению жидкой фазы среды со стороны твердой увеличится многократно. Из-за этого расход источника при фиксированном перепаде граничных напоров упадет, а значит, увлажнение станет малоэффективным.

Явление внутренней суффозии, описанное выше на примере дрены-увлажнителя, включает специфический эффект, который проявляется в начале деформаций и положительно отражается на ее работе. Этот эффект обеспечивает кратковременное заметное усиление действия источника. Речь идет о скачкообразном уменьшении вышеупомянутого сопротивления при включении механизма фильтрационных деформаций. В соответствующий момент времени суффозионные частицы, согласно принятой математической модели [5, 6] (базируется на утверждении об их динамическом равновесии благодаря равенству сил сопротивления и давления), мгновенно приобретают конечные скорости, величина которых тесно связана с положением частиц относительно источника. В действительности набор скорости частицами является своего рода переходным процессом. Для его описания требуется дополнительно рассмотреть силы инерции. Протекает этот процесс по сравнению с деформационным и фильтрационным очень быстро, что дает основание им пренебречь.

Естественно, отмеченная мобилизация неструктурного вещества повлечет за собой падение потерь напора (кризис сопротивления), и будет способствовать интенсификации фильтрационного процесса. В последующем, по мере развития деформаций и образования вблизи источника слоя кольматажа его расход будет неуклонно снижаться. Но, конечно, для корректной оценки последствий перераспределения и осаждения взвеси необходимо уметь точно находить фактический исходный расход водоисточника (дренажа). Сделать это, а также провести разносторонний анализ значимости фильтрационных деформаций целесообразно на базе осесимметричного уравнения движения в пористой среде жидкости, которая содержит неассоциированные с ней твердые частицы,

$$n_w \left( \frac{u}{k_s} + \frac{u_k}{k_c} \right) = - \frac{\partial H}{\partial r}. \quad (1)$$

Здесь  $n_w$  — текущая пористость,  $n_w = 1 - m_s - n_c$ ;  $m_s$ ,  $n_c$  — доли пространства, занятые структурными и подвижными неструктурными частицами;  $u_k$ ,  $u$  — критическая и средняя (в порах) скорости течения жидкости;  $k_s$ ,  $k_c$  — эмпирические коэффициенты, родственные коэффициентам фильтрации применительно к физическим системам: жидкость — структурная компонента пористой среды (неподвижна) и — неструктурная твердая компонента среды (подвижная или неподвижная);  $H$  — напор. По существу уравнение (1) есть обобщение закона Дарси на случай фильтрации двухфазного потока, дисперсная фаза которого движется несинхронно с носителем.

Ключевым вопросом при определении потерь напора является установление коэффициентов  $k_s$ ,  $k_c$ , что возможно двумя путями. В основе первого лежат формулы, полученные чисто эмпирически или с привлечением упрощенных структурных схем (системы капилляров или сферических частиц) для природных или искусственных пористых сред [7]. Второй путь базируется на данных экспериментальных исследований осаждения взвешенных частиц в стесненных условиях [8]. Обязательное требование к разрабатываемым для  $k_s$ ,  $k_c$  формулам заключается в том, что они должны аккуратно учитывать, с одной стороны, существенную разнородность мехсостава твердого вещества (структурные + суффозионные

частицы), а с другой стороны подвижность его неструктурной составляющей. Ниже выбран второй подход. Первый же был реализован при теоретическом изучении внешней суффозии [6]. Исходя из выражений для скоростей осаждения взаимодействующих частиц суспензии, были строго выведены следующие формулы:

$$k_s = \frac{g}{146,3\nu} \frac{d_s^2 n_w^4}{m_s^2 (1 - n_c)^2}, \quad k_c = \frac{g}{146,3\nu} \frac{d_c^2 n_w^4}{(1 - m_s)^2 n_c^2}, \quad (2)$$

где  $g$  — ускорение земного притяжения;  $\nu$  — кинетическая вязкость;  $d_s, d_c$  — эквивалентные диаметры структурных и неструктурных частиц соответственно. Существенные различия в характерном времени деформации среды и фильтрации жидкости дают право считать суффозионный процесс нестационарным, который происходит на фоне стационарного фильтрационного и начинается в определенный момент времени (для удобства принимается  $t = 0$ ).

Таким образом, первоначально ( $t < 0$ ) среда сложена из обоих твердых неподвижных компонент, а ее коэффициент фильтрации  $k_0$  выражается через исходные (при  $t \leq 0$ ) значения  $k_{s0}, k_{c0}$ , а именно,

$$k_0 = \frac{k_{s0} k_{c0}}{k_{s0} + k_{c0}}, \quad (3)$$

где  $k_{s0} = k_s(0)$ ,  $k_{c0} = k_c(0)$ . Значения  $k_{s0}, k_{c0}$  предлагается вычислять по формулам (2), полагая  $n_c = m_c$  ( $m_c$  — постоянная объемная концентрация неструктурных частиц в недеформированной среде). При введении безразмерных переменных и параметров в качестве одного из масштабов как раз и использовался коэффициент  $k_0$ . Естественно, что тогда относительный коэффициент фильтрации недеформированной среды равен 1.

В момент  $t = 0$  суффозионные частицы в соответствии с принятой математической моделью квазистационарной фильтрации (ее нестационарность связана только с изменением концентрации  $n_c$ ) начинают перемещаться уже с некоторой ненулевой скоростью. Это не отвечает действительности, но серьезно облегчает исследование механического состояния деформируемой при увлажнении среды. В итоге скорость мобилизованных частиц относительно жидкости сразу падает до характерной величины — критической скорости. Тем самым предопределяется резкое снижение сопротивления потоку жидкости и, как следствие, потерь напора. Другими словами, наблюдается кризис сопротивления. Его мерой отчасти может служить начальный эквивалентный коэффициент фильтрации  $k_e^0$ , который рекомендуется вычислять по формуле

$$k_e^0 = \frac{k_{s0} k_{c0} u^0}{k_{s0} u_k + k_{c0} u^0}. \quad (4)$$

Здесь коэффициент  $k_e^0 = k_e(0)$  уже не является постоянной величиной, поскольку начальная скорость  $u^0$  с приближением к источнику быстро нарастает. Чтобы найти  $k_e^0$  и, таким образом, получить возможность рассчитывать указанный кризис, следует воспользоваться давно известным решением осесимметричной стационарной задачи фильтрационного течения при заданных напорах на границах области движения. Выражается оно зависимостью

$$\tilde{H} = \frac{H_d - H}{H_d - H_R} = \frac{\ln \frac{r}{r_0}}{\ln \frac{R}{r_0}}, \quad (5)$$

где  $H_d, H_R$  — постоянные напоры, заданные на контурах питания ( $r = r_0$ ) и разгрузки ( $r = R$ ). Отсюда скорость жидкости в недеформированной среде ( $t < 0$ ) запишется

$$u_0 = \frac{k_0(H_d - H_k)}{1 - m_s - m_0} \frac{1}{r \ln \frac{R}{r_0}}. \quad (6)$$

Начальное распределение приведенного напора  $\tilde{H}$  в области движения ( $1 \leq \bar{r} \leq \bar{R}$ ) находится в результате интегрирования трансформированного уравнения (1)

$$\bar{u}^0 = \frac{\bar{R}\chi}{1 - \beta} \bar{k}_e^0(\bar{r}) \frac{\partial \tilde{H}}{\partial \bar{r}}, \quad (7)$$

где  $\chi = \frac{k_0(H_d - H_R)}{u_k R(1 - m_s)}$ , символ “0” здесь и далее при фильтрационных характеристиках указывает на их начальные значения.

Полные потери механической энергии определяются заданными значениями напора  $H_d, H_R$  на границах области движения  $r = r_0$  и  $r = R$ . Однако распределение напора здесь находится в тесной связи с физико-механическими свойствами грунта, водно-физическими условиями в нем. Устанавливается оно в рассматриваемом случае начальных деформаций ( $\bar{t} = 0$ ) путем реализации простой фильтрационной задачи, которая в безразмерной форме выражается таким образом:

$$(1 - \beta) \left( \frac{\bar{u}^0}{\bar{k}_{s0}} + \frac{1}{\bar{k}_{c0}} \right) = -\frac{\partial \tilde{H}_1^0}{\partial \bar{r}}, \quad 1 \leq \bar{r} \leq \bar{r}_a, \quad (8)$$

$$\frac{\partial}{\partial \bar{r}} \left( \bar{r} \frac{\partial \tilde{H}_2^0}{\partial \bar{r}} \right) = 0, \quad \bar{r}_a < \bar{r} \leq \bar{R}, \quad (9)$$

$$\bar{r} = 1, \quad \tilde{H}_1^0 = 0; \quad \bar{r} = R, \quad \tilde{H}_2^0 = 1; \quad (10)$$

$$\bar{r} = \bar{r}_a, \quad \tilde{H}_1^0 = \tilde{H}_2^0; \quad \bar{k}_e^0(\bar{r}_a) \frac{\partial \tilde{H}_1^0}{\partial \bar{r}} = \frac{\partial \tilde{H}_2^0}{\partial \bar{r}}, \quad (11)$$

причем  $\bar{u}^0 = \frac{u^0}{u_k}$ ,  $\bar{k}_{s0} = \frac{k_{s0}}{k_0}$ ,  $\bar{k}_{c0} = \frac{k_{c0}}{k_0}$ ,  $\bar{k}_e = \frac{k_e}{k_0}$ ,  $\bar{r} = \frac{r}{r_0}$ ,  $r_0$  — радиус источника,  $\bar{r}_a = \frac{r_a}{r_0}$ ,  $r_a$  — радиус внешней границы аккумулирующей зоны (области деформаций). Выражение для  $\bar{u}^0$  вытекает из справедливого в области деформаций  $1 \leq \bar{r} \leq \bar{r}_a$  соотношения [6]

$$\bar{Q} = \bar{r}(\bar{u} - \beta \bar{n}_c), \quad (12)$$

так что

$$\bar{u}^0 = \frac{\bar{Q}^0}{\bar{r}} + \beta, \quad (13)$$

где  $\bar{Q}^0 = \frac{Q^0}{2\pi r_0 u_k (1 - m_s)}$ ,  $\beta = \frac{m_c}{1 - m_s}$ ,  $\bar{n}_c = \frac{n_c}{m_c}$ . Решение задачи (8)–(11), прежде всего, дает следующие обобщенные представления для искомых функций-напоров  $\tilde{H}_i^0(\bar{r}, \bar{t})$ :

$$\tilde{H}_1^0 = \frac{1 - \beta}{\bar{R}\chi} \left[ \bar{Q}^0 \int_1^{\bar{r}} \frac{d\bar{r}}{\bar{r} \bar{k}_e^0(\bar{r})} + \beta \int_1^{\bar{r}} \frac{d\bar{r}}{\bar{k}_e^0(\bar{r})} \right], \quad 1 \leq \bar{r} \leq \bar{r}_a, \quad (14)$$

$$\tilde{H}_2^0 = 1 + \left\{ \frac{1-\beta}{\bar{R}\chi} \left[ \bar{Q}^0 \int_1^{\bar{r}} \frac{d\bar{r}}{\bar{r}\bar{k}_e^0(\bar{r})} + \beta \int_1^{\bar{r}} \frac{d\bar{r}}{\bar{k}_e^0(\bar{r})} \right] - 1 \right\} \frac{\ln \frac{\bar{r}}{\bar{R}}}{\ln \frac{\bar{r}_a}{\bar{R}}}, \quad \bar{r}_a < \bar{r} \leq \bar{R}. \quad (15)$$

С помощью второго условия (10) выводится формальное выражение для неизвестного относительного расхода источника  $\bar{Q}^0$

$$\bar{Q}^0 = \frac{\frac{\bar{R}\chi}{1-\beta} - \beta \int_1^{\bar{r}_a} \frac{d\bar{r}}{\bar{k}_e^0(\bar{r})} + \beta \bar{r}_a \ln \frac{\bar{r}_a}{\bar{R}}}{\int_1^{\bar{r}_a} \frac{d\bar{r}}{\bar{r}\bar{k}_e^0(\bar{r})} - \ln \frac{\bar{r}_a}{\bar{R}}}. \quad (16)$$

Для построения на базе (14)–(16) расчетных формул необходимо задаться функциями  $\bar{k}_e^0(\bar{r}, \bar{Q}^0)$  и  $\bar{r}_a(\bar{Q}^0)$ . Вид относительного эквивалентного коэффициента фильтрации  $\bar{k}_e$  заимствован из работы [9], а его начальное значение будет

$$\bar{k}_e^0 = \frac{\gamma^4 D^2 + (\beta + \gamma - \beta\gamma)^2}{\gamma^4 D^2 + (\beta + \gamma - \beta\gamma)^2 \bar{u}^0} \bar{u}^0. \quad (17)$$

С использованием (13) формула (17) примет окончательный вид

$$\bar{k}_e^0 = \frac{\phi_1}{\beta} \cdot \frac{\beta\bar{r} + \bar{Q}^0}{\bar{r} + \phi_2 \bar{Q}^0}, \quad (18)$$

где

$$\phi_1 = \beta \frac{\gamma^4 D^2 + (\beta + \gamma - \beta\gamma)^2}{\gamma^4 D^2 + \beta(\beta + \gamma - \beta\gamma)^2}, \quad \phi_2 = \frac{(\beta + \gamma - \beta\gamma)^2}{\gamma^4 D^2 + \beta(\beta + \gamma - \beta\gamma)^2},$$

$$\gamma = \frac{m_c}{m_s}, \quad D = \frac{d_s}{d_c}.$$

Положение внешней границы области деформаций определяется из условия  $\bar{u}^0(\bar{r}_a^0) = 1$  и характеризуется радиусом

$$\bar{r}_a = \frac{\bar{Q}^0}{1-\beta}. \quad (19)$$

Подстановка выражений (18), (19) в (17) позволяет получить трансцендентное уравнение для  $\bar{Q}^0$

$$\bar{Q}^0 \left[ \left( \beta \frac{\phi_2}{\phi_1} - \frac{1}{1-\beta} \right) \ln \frac{\bar{Q}^0}{1-\beta} + \frac{\ln \bar{R}}{1-\beta} + \frac{\beta}{(1-\beta)\phi_1} \right] = \frac{\bar{R}\chi}{1-\beta} + \frac{\beta}{\phi_1}. \quad (20)$$

Для оценки важности кризиса сопротивления достаточно сопоставить расход  $\bar{Q}^0$  с расходом источника в недеформированной среде, действующего в аналогичных условиях,  $\bar{Q}_0$ . Опираясь на (6), для  $\bar{Q}_0$  легко найти

$$\bar{Q}_0 = \frac{\bar{R}\chi}{\ln \bar{R}}. \quad (21)$$

Как раз отношение  $L = \bar{Q}^0/\bar{Q}_0$  и удобно рассматривать как меру указанного эффекта.

Благодаря применению обобщенной формы закона Дарси (1) удается просто проанализировать значимость противодействия фильтрационному течению со стороны взвеси. Для этой цели в (4) полагается  $k_{c0} \rightarrow \infty$ , что означает синхронное движение жидких и твердых частиц. Тогда коэффициент  $\bar{k}_e^0$  (18) становится постоянным и равен

$$\bar{k}_e^0 = \bar{k}_{s0}^0 = \frac{\gamma^4 D^2 + (\beta + \gamma - \beta\gamma)^2}{(\beta + \gamma - \beta\gamma)^2}. \quad (22)$$

С учетом (19) выражение (13) трансформируется в уравнение относительно предельного значения расхода источника  $\bar{Q}_{\Pi}^0$

$$\bar{Q}_{\Pi}^0 \left[ \left( \frac{1}{\bar{k}_{s0}^0} - \frac{1}{1 - \beta} \right) \ln \frac{\bar{Q}_{\Pi}^0}{1 - \beta} + \frac{\ln \bar{R}}{1 - \beta} + \frac{\beta}{(1 - \beta)\bar{k}_{s0}^0} \right] = \frac{\bar{R}\chi}{1 - \beta} + \frac{\beta}{\bar{k}_{s0}^0}. \quad (23)$$

Здесь  $\bar{Q}_{\Pi}^0$  является для  $\bar{Q}^0$  предельным в том смысле, что  $\bar{Q}_{\Pi}^0$ , во-первых, будет заведомо больше  $\bar{Q}^0$ , во-вторых,  $\bar{Q}^0 \rightarrow \bar{Q}_{\Pi}^0$  при  $\bar{k}_{c0} \rightarrow \infty$ . Сравнение же  $\bar{Q}_{\Pi}^0$  с  $\bar{Q}^0$  или  $L$  с  $L_{\Pi} = \bar{Q}_{\Pi}^0/\bar{Q}^0$  дает возможность измерять в относительных единицах (процентах) вклад в фильтрационный процесс сопротивления, оказываемого подвижными частицами потока жидкости.

Уравнение (20) предназначено для определения расхода  $\bar{Q}^0$  в обычных случаях, а именно,  $r_a < R$ , что эквивалентно условию

$$\bar{Q}^0 < (1 - \beta)\bar{R}. \quad (24)$$

В исключительных ситуациях деформации охватывают всю область движения ( $r_a \geq R$ ) и тогда следует решать только уравнение (8) при условиях (10). Таким образом, для  $\bar{Q}^0$  была предложена следующая формула:

$$\bar{Q}^0 = \frac{\phi_1 \bar{R}\chi - \beta(1 - \beta)(\bar{R} - 1)}{\beta\phi_2(1 - \beta) \ln \bar{R}}. \quad (25)$$

Несложно найти и граничные значения  $\bar{R}_b$ ,  $\bar{Q}_b^0$  параметров  $\bar{R}$ ,  $\bar{Q}^0$ , при которых  $\bar{r}_a$  сравнивается с  $\bar{R}$ . Для этого сначала из уравнения (20) после замены в нем  $\bar{Q}^0$  на  $(1 - \beta)\bar{R}_b$  устанавливается  $\bar{R}_b$ , а затем и расход  $\bar{Q}_b^0$ , причем

$$\bar{Q}_b^0 = (1 - \beta)\bar{R}_b.$$

Начальный скачок интенсивности источника определяется пятью комплексными параметрами  $-\beta$ ,  $\gamma$ ,  $D$ ,  $\chi$ ,  $\bar{R}$ . Реальные пределы их изменения существенно отличаются. Так как содержание неструктурных частиц в природных средах, как правило, сравнительно небольшое, то  $\beta$ ,  $\gamma \ll 1$ . Для количественного анализа, прежде всего, была выбрана типичная пара значений  $\beta = 0,15$ ,  $\gamma = 0,1$  (пример 1), что отвечает умеренно высокой концентрации указанных частиц в минеральных грунтах. Для контраста также брались значения  $\beta = 0,1$ ,  $\gamma = 0,3$  (пример 2), характерные для сильнопористых сред, — к таким средам, например, относятся органические грунты (торфы). Диаметры  $d_s$ ,  $d_c$  обычно различаются в несколько раз, реже — в десятки раз. При слишком больших значениях  $D$  пренебрегать взаимным влиянием частиц разного сорта недопустимо и тогда исходная модель нуждается в серьезной доработке. В примерах использовано единственное, часто встречающееся соотношение между  $d_s$  и  $d_c$  ( $D = 5$ ), так как внимание акцентировалось на других модельных параметрах. Размеры области движения чаще всего многократно превосходят размеры и дрены,

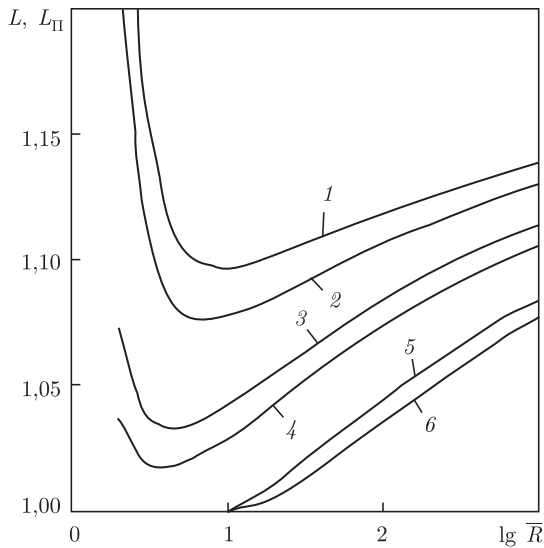


Рис. 1. Графики зависимостей  $L(\lg \bar{R})$ ;  $L_{\Pi}(\lg \bar{R})$ : 1, 3, 5 —  $L_{\Pi}$ ; 2, 4, 6 —  $L$ ; 1, 2 —  $\chi = 1$ ; 3, 4 —  $\chi = 0,5$ ; 5, 6 —  $\chi = 0,2$

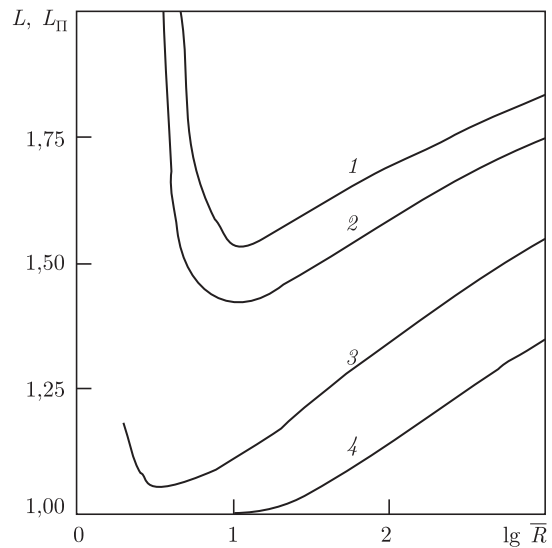


Рис. 2. Графики зависимостей  $L(\lg \bar{R})$ ;  $L_{\Pi}(\lg \bar{R})$ : 1 —  $L_{\Pi}$ ; 2-4 —  $L$ ; 2 —  $\bar{R} = 1000$ ; 1, 3 —  $\bar{R} = 100$ ; 4 —  $\bar{R} = 10$

и области деформаций, так что  $\bar{R} \gg 1$ . На практике деформации обычно локализованы вблизи дренажей. Как следствие, сверхкритические градиенты наблюдаются в малой части фильтрационного потока и  $\chi \rightarrow 1$ . Поэтому для  $\bar{R}$  и  $\chi$  выбраны интервалы  $[2, 1000]$ ,  $[0, 2]$  соответственно.

Предметом расчетов стал относительный расход источника в начале деформаций  $\bar{Q}^0$ , который обязательно сопоставлялся с аналогичным расходом в такой же, но недеформированной двухкомпонентной пористой среде. Отдельно исследовалось влияние радиуса  $\bar{R}$  и отношения среднего и критического градиентов напора  $\chi$ .

Данные вычислений приращения расхода  $L = \bar{Q}^0/\bar{Q}_0$  как функции от  $\bar{R}$  получены с использованием формулы (20) для значений  $\chi = 0,2, 0,5, 1$  и представлены в случае минерального грунта на рис. 1, а органического — на рис. 2. Параллельно рассчитывались  $\bar{Q}^0$ ,  $L_{\Pi}$  для предельной ситуации, когда взвесь и жидкость движутся синхронно. При минимальных размерах области движения скорость течения жидкости в порах вблизи дрены может быть значительной и мобилизация даже небольшого количества неструктурного вещества в состоянии резко улучшить фильтрационные условия, что и подтверждается характером кривых 1-6 на интервале  $2 \leq R \leq 5$ . Гипотетическое удаление контура разгрузки при неизменных  $\chi$ , перепаде  $H_d - H_R$  значит адекватное  $\bar{R}$  уменьшение критического градиента напора и, следовательно, расширение области деформаций. Поток суффозионных частиц одновременно усиливается за счет вовлечения в деформации их большего объема и сокращается из-за уменьшения скорости транспортировки мобильной компоненты. Как видно из рис. 1, 2, превалирует как раз первый фактор, что и вызывает итоговое усиление работы источника с ростом  $\bar{R}$ . Упрощенная трактовка поведения дисперсной фазы как ассоциированной составляющей двухфазного течения способна приводить к заметным погрешностям, в чем убеждает относительное расположение на этих рисунках кривых  $L(\bar{R})$  и  $L_{\Pi}(\bar{R})$ .

Из областей определения функций  $L(\bar{R})$ ,  $L(\chi)$  выделены и рассматриваются только те множества значений  $\bar{R}$ ,  $\chi$ , для которых полученное выше решение имеет физический смысл.

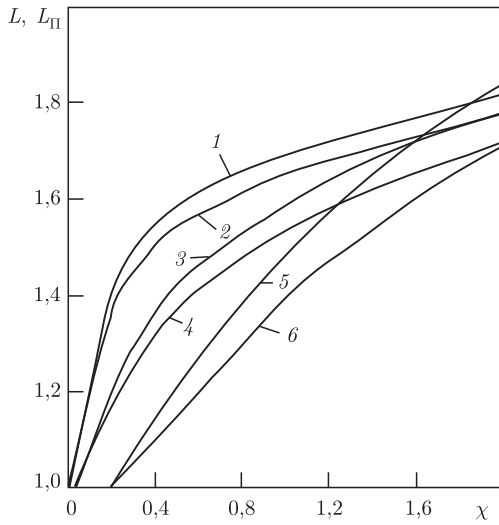


Рис. 3. Графики зависимостей  $L(\chi)$ ;  $L_{\Pi}(\chi)$ : 1, 3, 5 –  $L_{\Pi}$ ; 2, 4, 6 –  $L$ ; 1, 2 –  $\bar{R} = 1000$ ; 3, 4 –  $\bar{R} = 100$ ; 5, 6 –  $\bar{R} = 10$

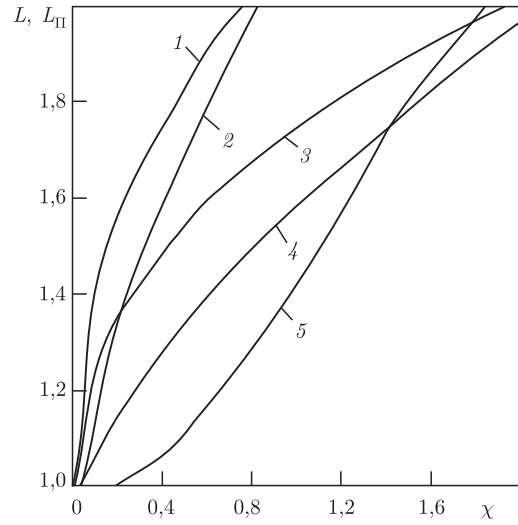


Рис. 4. Графики зависимостей  $L(\chi)$ ;  $L_{\Pi}(\chi)$ : 1, 2 –  $L_{\Pi}$ ; 3–5 –  $L$ ; 1, 3 –  $\bar{R} = 1000$ ; 2, 4 –  $\bar{R} = 100$ ; 5 –  $\bar{R} = 10$

Соответствующие ограничения на них вытекают из условия, соблюдение которого гарантирует отсутствие деформаций, а именно:

$$Q_0 \leq Q_k = 2\pi r_0(1 - m_s - m_c)u_k.$$

Это равнозначно

$$\chi \leq (1 - \beta) \frac{\ln \bar{R}}{\bar{R}}. \quad (26)$$

Фиксация размера области движения ( $\bar{R} = 10, 100$  и  $1000$ ), граничных напоров при изменении параметра  $\chi$  в выбранном диапазоне облегчает изучение чувствительности кризиса сопротивления по отношению к критическому градиенту (скорости  $u_k$ ). Рассчитанные по (20), (23) кривые  $L(\chi)$ ,  $L_{\Pi}(\chi)$  изображены на рис. 3 (минеральный) и рис. 4 (органический грунт). Минимальные значения  $\chi_m$  (среда деформируется при  $\chi > \chi_m$ ) находились из (26). Естественно, что при  $\chi = \chi_m$  будет  $L = 1$ . Попутно определялись и зависимости  $L_{\Pi}(\chi)$ , причем  $L_{\Pi}(\chi_m)$  также равно 1. Наиболее быстрый рост  $L$ ,  $L_{\Pi}$  отмечается при малых значениях  $\chi$ .

В целом сравнение рис. 1 и 2, 3 и 4 позволяет утверждать, что эффект резкой интенсификации действия источника особенно сильно проявляется в суффозионных грунтах с высокой пористостью при большом содержании неструктурных частиц, хотя, безусловно, он представляет практический интерес и для обычных несвязных грунтов. Вообще же начальный скачок дренажного расхода вследствие увлажнения реальных несвязных пористых сред чаще составляет проценты, но в отдельных случаях может достигать до нескольких десятков процентов. Наконец, результаты выполненных расчетов говорят о целесообразности учета взаимодействия между образовавшейся в ходе деформаций взвесью и фильтрационным течением.

1. Мурашко А. И., Сапожников Е. Г. Защита дренажа от заиления. – Минск: Урожай, 1978. – 168 с.



2. McDowell Z. M., Hunt J. R., Sitar N. Particle transport through porous media // Wat. Resour. Res. – 1986. – **22**, No 13. – P. 1901. – 1921.
3. Ojha C. S. P., Singh V. P., Adrian D. D. Determination of critical head in soil piping // J. of Hydraulic Engineering, ASCE. – 2003. – **129**, No 7. – P. 511–518.
4. Поляков В. Л. Интенсивное промачивание суффозионных грунтов // Прикл. гідромеханіка. – 2007. – **9(81)**, № 3. – С. 70–79.
5. Дмитриев А. Ф., Хлапук Н. Н., Дмитриев Д. А. Деформационные процессы в несвязных грунтах в придренированной зоне и их влияние на работу осушительно-увлажнительных систем. – Ровно: Изд-во РГТУ, 2002. – 145 с.
6. Поляков В. Л. Механическая суффозия в дренируемом грунте // Прикл. гідромеханіка. – 2002. – **4(76)**, № 4. – P. 60–73.
7. Азров М. Э., Тодес О. М., Наринский Д. А. Аппараты со стационарным зернистым слоем. – Ленинград: Химия, 1979. – 176 с.
8. Романков П. Г., Курочкина М. И. Гидродинамические процессы химической технологии. – Ленинград: Химия, 1982. – 288 с.
9. Поляков В. Л. О фильтрационных деформациях грунта с образованием аккумулирующих зон // Прикл. гідромеханіка. – 2003. – **5(77)**, № 2. – P. 45–56.

Институт гидромеханики НАН Украины, Киев

Поступило в редакцию 31.01.2007

УДК 539.3:538.6:534.1

© 2007

Член-корреспондент НАН України М. О. Шульга, В. В. Левченко

## Про тривимірну задачу лінеаризованої магнітострикції феритів з феромагнітним резонансом

*The full system of three-dimensional equations of linearized magnetostriction for ferrites in view of a ferromagnetic resonance is transformed to a system of eight equations of the operational Hamilton type for rather definitely chosen initial variables.*

Однією з актуальних задач електромагнітомеханіки, що мають важливе фундаментальне і прикладне значення, є дослідження магнітопружного деформування тіл із феромагнітних магнітострикційних матеріалів з урахуванням феромагнітного резонансу. Цьому питанню присвячені роботи [3–6, 8–15]. У даній роботі пропонується перетворення системи тривимірних диференціальних рівнянь лінеаризованої магнітострикції феритів кубічної системи з урахуванням феромагнітного резонансу фізико-механічних властивостей.

Визначальні рівняння лінеаризованої магнітострикції з урахуванням феромагнітного резонансу в околі статичного поля попереднього підмагнічування  $\mathbf{H} = H_0 \mathbf{e}_z$ ,  $\mathbf{B} = B_0 \mathbf{e}_z$  для феритів кубічної системи можна записати у вигляді

$$\begin{aligned} \sigma_{11} &= c_{11} \frac{\partial u_1}{\partial x_1} + c_{12} \frac{\partial u_2}{\partial x_2} + c_{12} \frac{\partial u_3}{\partial x_3}, & \sigma_{22} &= c_{12} \frac{\partial u_1}{\partial x_1} + c_{11} \frac{\partial u_2}{\partial x_2} + c_{12} \frac{\partial u_3}{\partial x_3}, \\ \sigma_{33} &= c_{12} \frac{\partial u_1}{\partial x_1} + c_{12} \frac{\partial u_2}{\partial x_2} + c_{11} \frac{\partial u_3}{\partial x_3}, & \sigma_{32} &= c_{55} \left( \frac{\partial u_2}{\partial x_3} + \frac{\partial u_3}{\partial x_2} \right) + \frac{\beta_2}{M_0} m_2, \end{aligned}$$